

## مقایسه‌ی کاربرد مدل‌های آشفتگی RSM و LES در پیچ تند\*

جواد مظفری<sup>(۱)</sup> امیر صمدی<sup>(۲)</sup> سید اسدالله محسنی موحّد<sup>(۳)</sup> داود داوودمقامی<sup>(۴)</sup>

**چکیده** شناخت الگوی جریان و مکان‌های فرسایش و رسوب‌گذاری در پیچ آبراهه‌ها دارای اهمیت زیادی می‌باشد. اما استفاده از مدل‌های فیزیکی و بررسی آزمایشگاهی الگوی جریان در پیچ‌ها دارای محدودیت است و مدل‌های ریاضی می‌توانند کمک شایانی به شناخت الگوی جریان در پیچ‌ها کنند. در این تحقیق، مدل‌های آشفتگی RSM و LES در پیچ تند یک آبراهه‌ی آزمایشگاهی با استفاده از نرم‌افزار فلونتت مقایسه شده‌اند. آبراهه‌ی آزمایشگاهی، کانالی با پیچ تند است که در آزمایشگاه هیدرولیک دانشگاه EPFL مستقر می‌باشد. برای بررسی مدل‌های آشفتگی، از پارامترهای متوسط‌گیری شده در عمق استفاده گردید. همچنین برای بررسی کمی مدل‌های آشفتگی، تعدادی پروفیل سرعت طولی انتخاب شد و با پروفیل‌های اندازه‌گیری شده مقایسه گردید. نتایج بررسی سرعت طولی متوسط‌گیری شده در عمق نشان داد که مدل RSM توانایی تعیین دقیق نقاط مهم جریان را ندارد. این مدل، منطقه‌ی جداشدگی جریان را در زاویه‌ی ۸۵ درجه و با بیشینه عرض ۴۰ درصد نشان می‌دهد در حالی که در اندازه‌گیری‌ها، این منطقه دارای بیشینه عرض ۶۰ درصد عرض کل و در حدود زاویه‌ی ۷۵ درجه واقع می‌باشد. در مقابل، مدل LES به صورت مناسبی منطقه جداشدگی را نشان می‌دهد و موقعیت‌های بیشینه سرعت طولی متوسط‌گیری شده در عمق را نیز مناسب‌تر از مدل RSM مشخص می‌کند. بررسی سرعت عرضی متوسط‌گیری شده در عمق نیز نشان داد که موقعیت‌های تغییر جریان عرضی به وسیله‌ی مدل LES مناسب‌تر از مدل RSM شناخته شده است. نهایتاً مقایسه‌ی کمی پروفیل‌های سرعت نشان داد که مدل LES خطای کمتری دارد و نتایج مناسب‌تری را ارائه می‌دهد.

**واژه‌های کلیدی** پیچ تند، فلونتت، سرعت متوسط‌گیری شده در عمق، مدل آشفتگی.

## Comparison of RSM and LES Turbulence Models on Sharp Bend

J. Mozaffari A. Samadi S. A. Mohseni Movahhed D. Davoud-Maghani

**Abstract** Recognizing of river flow pattern, deposition and erosion areas in meanders is highly important. Despite the limitations of the physical models in laboratory investigation of flow pattern in meanders, mathematical models can be helpful. In this research, RSM and LES turbulence models have been compared on sharp river bend of a laboratory flume using Fluent Software. The Laboratory flume is a sharp river bend established in hydraulic laboratory of EPFL. In order to investigate turbulence models, depth-averaged parameters were used. Moreover, to quantitatively examine those models, some longitudinal velocity profiles were selected and compared with measured ones. Results of longitudinal depth averaged velocities showed that RSM model is not able to precisely determine the important flow points. This model shows flow separation region within 85 degree and maximum width of 40 percent, though measurements indicated it was located in the region with maximum width of 60 percent of total width and approximately 75 degree. On the contrary, LES model suitably shows separation region. Besides, it better determines maximum measured depth averaged velocity situations rather than RSM model. Investigation of transversal depth-averaged velocity distinguished LES model from RSM as the better model and finally quantitative comparison of velocity profiles showed LES model is more accurate and presents more valid authentic results.

**Keywords** Depth-Averaged Velocity, Fluent, Sharp Bend, Turbulence Model.

★ تاریخ دریافت مقاله ۹۳/۵/۲۱ و تاریخ پذیرش آن ۹۴/۳/۲۲ می‌باشد.

(۱) استادیار، گروه مهندسی آب، دانشگاه اراک.

(۲) نویسنده‌ی مسئول: استادیار، گروه مهندسی آب، دانشگاه بین‌المللی امام خمینی (ره).

(۳) استادیار، گروه مهندسی آب، دانشگاه اراک.

(۴) کارشناس، گروه مهندسی آب، دانشگاه اراک.

## مقدمه

اکثر رودخانه‌ها به‌صورت پیچانرود هستند و دارای جریان ثانویه‌ی قوی می‌باشند که سبب رسوبگذاری در ساحل داخلی و فرسایش در ساحل خارجی می‌گردد. از طرفی دهانه‌ی آبگیر در پیچ رودخانه بایستی در مکانی قرار بگیرد که حداکثر میزان قدرت جریان ثانویه در آنجا باشد. این مسأله سبب می‌گردد که رسوبات در ساحل خارجی به سمت ساحل داخلی حرکت کنند و کمترین میزان رسوب وارد دهانه‌ی آبگیر شود. همچنین، تغییرات در پیچ رودخانه‌ها و فرسایش دیواره و بستر آنها، سبب حرکت و مهاجرت پیچ رودخانه و تخریب تأسیسات اطراف آن و اراضی کشاورزی و ایستگاه‌های پمپاژ مجاور می‌گردد که نشان‌دهنده‌ی نیاز به شناخت الگوی جریان و مکان بیشینه جریان ثانویه و تنش برشی در پیچ به‌وسیله‌ی مدل‌های ریاضی است.

شطار (Shettar) و مورتی (Murthy) [1] در سال ۱۹۹۶ برای شبیه‌سازی عددی جریان در حالت آشفته، از معادلات رینولدز متوسط‌گیری شده در عمق برای حالت دوبعدی استفاده کردند. صفرزاده گندشمین و صالحی نیشابوری [۲] در سال ۱۳۸۵ برای بررسی الگوی جریان در آبگیر جانبی از نرم‌افزار فلوئنت استفاده نمودند. ایشان برای شبیه‌سازی آشفتگی از مدل‌های دو معادله‌ای  $k-\epsilon$  استاندارد و  $k-\omega$  استفاده کرده و عملکرد مدل  $k-\omega$  را در پیش‌بینی نواحی گردابه‌ای و جدایی جریان، بهتر از مدل  $k-\epsilon$  ارزیابی کردند. امیدییگی و همکاران [۳] در سال ۱۳۸۹ به بررسی عددی ساختار سه‌بعدی جریان در آبگیر جانبی پرداختند. ایشان برای مدل‌سازی آشفتگی از مدل‌های  $k-\epsilon$ ،  $k-\omega$  و RSM استفاده کردند. مقایسه‌ی نتایج به‌دست آمده از مدل‌های آشفتگی با نتایج آزمایشگاهی نشان داد که الگوی جریان داخل کانال اصلی به‌وسیله‌ی هر سه مدل به‌خوبی پیش‌بینی شده اما در کانال آبگیر، مدل RSM نسبت به دو مدل دیگر بهتر عمل کرده و قابلیت مدل  $k-\omega$  بیشتر از مدل  $k-\epsilon$  می‌باشد. شاملو و همکاران [۴] در سال ۱۳۸۹ به بررسی ناحیه‌ی جدایی جریان در آبگیر جانبی

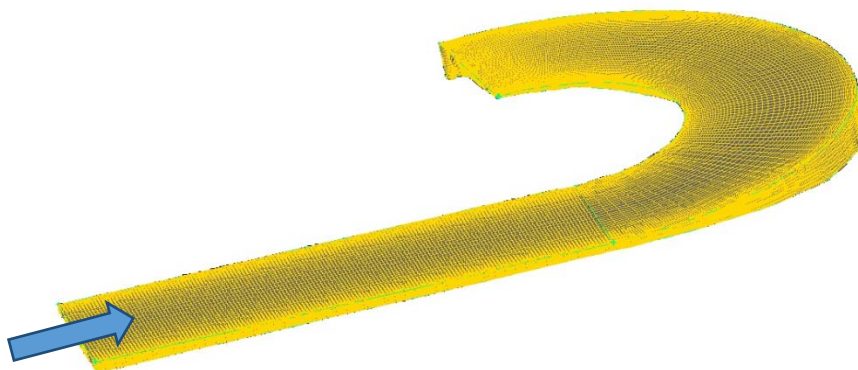
پرداختند. ایشان براساس نتایج به‌دست آمده گزارش نمودند که مدل آشفتگی RSM به علت عدم اعمال محدودیت هموزنی لزجت گردابه‌ای، در پیش‌بینی الگوی جریان بهتر از سایر مدل‌های به کار رفته عمل می‌نماید. هان (Han) [5] در سال ۲۰۱۰ به بررسی سه مدل  $k-\epsilon$ ، RNG، LES و RSM در یک پیچ تند پرداخت و نتیجه گرفت که مدل RSM تطابق مناسبی با مقادیر آزمایشگاهی دارد. ون بالن (Van Balen) و همکاران [6] در سال ۲۰۰۹ به بررسی مدل LES در پیچ ملایم کانال پرداختند. همچنین تحقیقات بویج (Booij) [7]، درگاهی [8]، کانگ و چوی [9] و خسرونژاد و همکاران [10] نیز نشان دادند که مدل  $k-\epsilon$  دارای محدودیت‌هایی در پیش‌بینی صحیح میزان جریان ثانویه است و تخمین ضعیف‌تری از ناحیه‌ی جداشدگی می‌نماید. از این‌رو، به نظر می‌رسد برای شناخت کامل الگوی جریان در پیچ‌ها، بایستی آزمایش‌های بسیار زیادی را در آزمایشگاه و در پیچ‌های با اندازه‌های متفاوت انجام داد که انجام آن به‌سادگی میسر نیست. بنابراین هدف اصلی انجام این پژوهش، بررسی و مقایسه‌ی توانایی مدل‌های عددی آشفتگی در شناخت الگوی جریان در پیچ‌های تند می‌باشد تا در صورت امکان با کمک آن‌ها بتوان با آزمایش‌های بسیار کمتر و برای شرایط مختلف، الگوی جریان را پیش‌بینی نمود.

## مواد و روش‌ها

مطالعات آزمایشگاهی این پژوهش در آزمایشگاه هیدرولیک دانشگاه EPFL لوزان سوئیس، بر روی فلومی از جنس پلکسی گلاس، با زاویه‌ی مرکزی ۱۹۳ درجه انجام گردید. شعاع خط مرکزی R برابر ۱/۷ متر می‌باشد که بیانگر نسبت R/B برابر با ۱/۳ متر و نشان‌دهنده‌ی یک خم با پیچ تند می‌باشد. کف کانال از رسوباتی به قطر ۲ میلی‌متر پر شده است که پس از سه هفته تزریق رسوب و ایجاد توپوگرافی توسعه یافته، برای انجام آزمایش‌ها منجمد گردیده است. جدول (۱) خلاصه‌ای از شرایط آزمایشگاهی را نشان می‌دهد.

جدول ۱ مشخصات جریان در فلوم آزمایشگاهی

دبی	عمق متوسط فلوم	سرعت متوسط جریان	سرعت برشی متوسط	شیب انرژی	عدد رینولدز	عدد فرود	نسبت شعاع قوس به عرض	نسبت شعاع قوس به عمق	نسبت عرض به عمق	رینولدز برشی
Q (ls-1)	H (m)	U (ms-1)	U* (ms-1)	Sf (-)	Re (-)	Fr (-)	R/B (-)	R/H (-)	B/H (-)	Re* (-)
۶۳	۰/۰۹۸	۰/۴۹	۰/۰۵۶	۰/۰۰۴	۴۳۰۰۰	۰/۵	۱/۳۱	۱۷	۱۳	۱۸۷



شکل ۱ شبکه‌ی محاسباتی ایجاد شده در نرم‌افزار گمبیت

چندین شبکه‌ی مختلف در نرم‌افزار گمبیت و سپس فلوئنت و با کوچک کردن شبکه تا حد ممکن به دست آمد. در نزدیک دیواره، شبکه‌ی محاسباتی تا اندازه‌ای که در نرم‌افزار گمبیت امکان داشته و ایجاد حجم منفی نکرده، ریز شده است. مقدار عبارت  $U_* K_s / \nu$  بزرگ‌تر از ۷۰ می‌باشد و در نتیجه جریان کاملاً زیر است و زیرلایه‌ی لزوج وجود نخواهد داشت. شبکه‌ی محاسباتی به صورتی انتخاب شده بود که تا حد امکان،  $Y^+$  در محدوده‌ی لایه‌ی میانی (Buffer Layer) قرار نگرفته باشد و بیشتر از ۳۰ شود.

شکل (۱) کانال را با شبکه‌ی محاسباتی نشان می‌دهد. قابل ذکر است که کف کانال از یک توپوگرافی توسعه‌یافته تشکیل شده است و بنابراین اندازه‌ی دیواره خارجی بیشتر از دیواره‌ی داخلی در شبکه‌ی اندازه‌گیری می‌باشد. در این شبکه‌ی محاسباتی ۶۵ گره در عرض کانال، ۳۵ گره در ارتفاع و ۴۰۰ گره در طول کانال ایجاد شده است. در گره‌های موجود در عرض کانال با نزدیک‌تر شدن به دیواره‌ی جانبی، فاصله‌ی گره‌ها نیز کاهش یافته است.

#### مدل‌های مورد استفاده در نرم‌افزار فلوئنت

نرم‌افزار فلوئنت برای اجرا و شبیه‌سازی الگوی سه‌بعدی جریان می‌باشد [11]. مدل هفت معادله‌ای تنش رینولدز (RSM) از سری معادلات ناویر-استوکس با رینولدز متوسط زمانی (RANS) می‌باشد که در این پژوهش به کار رفته است. مدل شبیه‌سازی گردابه‌ی بزرگ (LES) نیز با مدل‌سازی گردابه‌های بزرگ، الگوی جریان را تعیین می‌کند. بنابراین مدلی با هزینه‌های اجرایی کمتر از روش شبیه‌سازی عددی مستقیم (DNS) و هزینه‌های اجرایی بیشتر از مدل‌های RANS می‌باشد. مدل LES یک مدل فیلتر را برای نشان دادن رفتار پیچیده‌های کوچک فرض می‌کند و ساختار پیچیده‌های بزرگ سه‌بعدی وابسته به زمان را در جریان آشفته محاسبه می‌کند.

برای اجرای نرم‌افزار فلوئنت ابتدا بایستی شبکه‌ی جریان در کانال مورد نظر ساخته شود. برای شبکه‌سازی از نرم‌افزار گمبیت (Gambit) استفاده شده است. در این تحقیق ۹۱۰ هزار گره محاسباتی در نرم‌افزار تشکیل شده است. این شبکه‌ی محاسباتی نهایتاً پس از آزمون

استفاده است که سطح آب مشخص باشد و مانند یک دیواره در نظر گرفته شود. در پیچ‌ها به دلیل تغییرات موجود در سطح آب که توسط نیروی گریز از مرکز ایجاد می‌شود، سطح آب در دیواره‌ی خارجی بالاتر از دیواره‌ی داخلی می‌باشد و در نظر گرفتن یک سطح آب با ارتفاع ثابت می‌تواند خطا ایجاد کند. به هر حال در تحقیقاتی که توسط ون بالن و همکاران [6] بر روی پیچ‌های ملایم و تند انجام شد، بیان گردید که مقدار این خطا ناچیز می‌باشد و تأثیر آن بر روی الگوی جریان قابل صرف نظر کردن است. قابل ذکر است که برای از بین بردن خطای مذکور در شبکه‌ی محاسباتی، از سطح آب اندازه‌گیری شده استفاده گردید. بدین ترتیب شبکه‌ی محاسباتی در فضای واقعی بین توپوگرافی توسعه‌یافته و سطح واقعی آب طراحی شده است.

### نتایج و بحث

کمیت‌های متوسط‌گیری‌شده در عمق معمولاً برای تشریح سیمای عمومی میدان جریان و توزیع سرعت در جریان‌های سه‌بعدی پیچیده مورد استفاده قرار می‌گیرند. شکل (۲) سرعت طولی متوسط‌گیری‌شده در عمق (Us) را که با سرعت متوسط جریان نرمالیزه شده است (Us/U) نشان می‌دهد. جریان تا حدود مقطع عرضی ۳۰ درجه دارای جدا شدگی از دیواره‌ی داخلی نمی‌باشد. منطقه‌ی جداشدگی بین ۳۰ و ۱۲۰ درجه می‌باشد و دارای بیشینه عرض حدود ۷۵ درجه است که در حدود ۶۰ درصد عرض کل می‌باشد.

شکل (۳) تغییرات سرعت عرضی متوسط‌گیری‌شده در عمق (Un) را که با سرعت متوسط جریان نرمالیزه شده است (Un/U) نشان می‌دهد. از حدود مقطع عرضی ۱۵ درجه تا مقطع عرضی ۷۵ درجه، مقدار متوسط‌گیری‌شده‌ی سرعت عرضی مثبت است و به سمت ساحل خارجی می‌باشد. از مقطع عرضی ۷۵ درجه تا نزد یک ۱۳۵ درجه، عمده‌تاً مقدار سرعت عرضی متوسط‌گیری‌شده در عمق، منفی و رو به ساحل داخلی می‌باشد. از مقطع ۱۳۵ درجه به سمت خروجی خم، دوباره این مقدار مثبت گردیده است.

در مرحله‌ی بعد، شبکه‌ی محاسباتی وارد نرم‌افزار فلونت می‌گردد. ارتفاع زبری کف برابر با ۰/۰۰۶۷ متر برطبق روابط ون راین (Van Rijn) [12] در سال ۱۹۸۴ در نظر گرفته شده است. طبق رابطه‌ی ون راین، زبری بستر برابر است با:

$$K_s = 3d_{50} + 1.1\Delta(1 - e^{25\Delta/\lambda}) \quad (1)$$

که در این رابطه  $\Delta$  ارتفاع دیون‌ها و  $\lambda$  طول دیون‌ها می‌باشد. همچنین  $\lambda = 7.3h$  می‌باشد که  $h$  برابر با عمق آب است. ارتفاع دیون‌ها نیز از رابطه‌ی زیر به دست می‌آید:

$$\frac{\Delta}{h} = 0.11 \left( \frac{d_{50}}{h} \right)^{0.3} (1 - e^{-0.5T})(25 - T) \quad (2)$$

$$T = \frac{(u_*)^2 - (u_{*c})^2}{(u_{*c})^2} \quad (3)$$

که در آن،  $u_{*c}$  سرعت برشی بحرانی می‌باشد که از دیاگرام شیلدز به دست می‌آید و  $u_* = \frac{\bar{u}\sqrt{g}}{C'}$  می‌باشد.  $\bar{u}$  نیز سرعت متوسط جریان و  $C'$  ضریب شزی ذره می‌باشد که برابر است با:

$$C' = 18 \log \left( \frac{12R_b}{3d_{90}} \right) \quad (4)$$

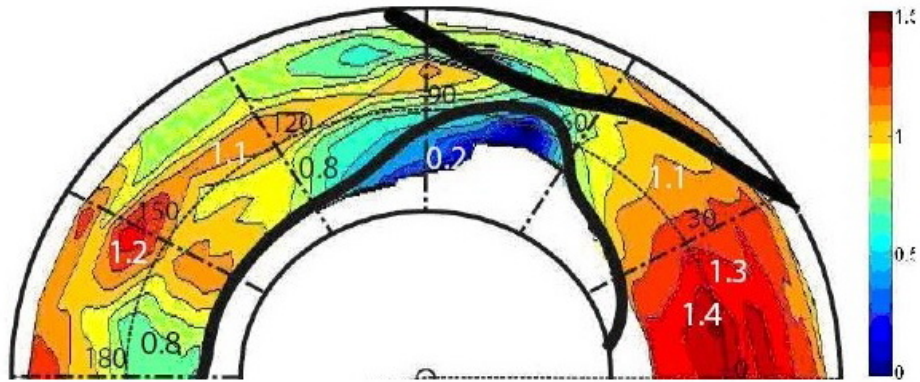
که در این رابطه،  $R_b$  شعاع هیدرولیکی می‌باشد. شرایط مرزی استفاده شده نیز عبارتند از:

۱- ورودی (Input): برای ورودی شرط مرزی mass-flow-inlet یا دبی جرمی ورودی در نظر گرفته شده است.

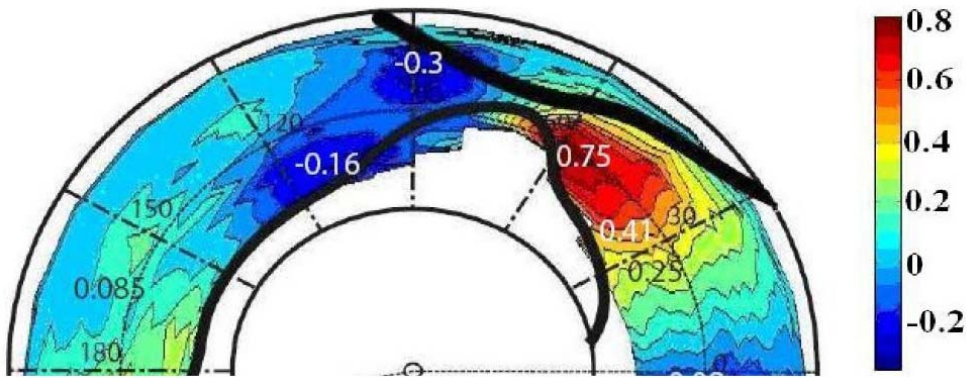
۲- خروجی (Output): شرط خروجی Pressure-outlet قرار داده شده است.

۳- دیواره (Wall): برای دیواره‌ی خارجی و داخلی که از جنس پلکسی گلاس می‌باشند، شرط مرزی wall در نظر گرفته شده و زبری آن برابر زبری PVC می‌باشد. زبری کف نیز برابر ۰/۰۰۶۷ قرار داده شده است.

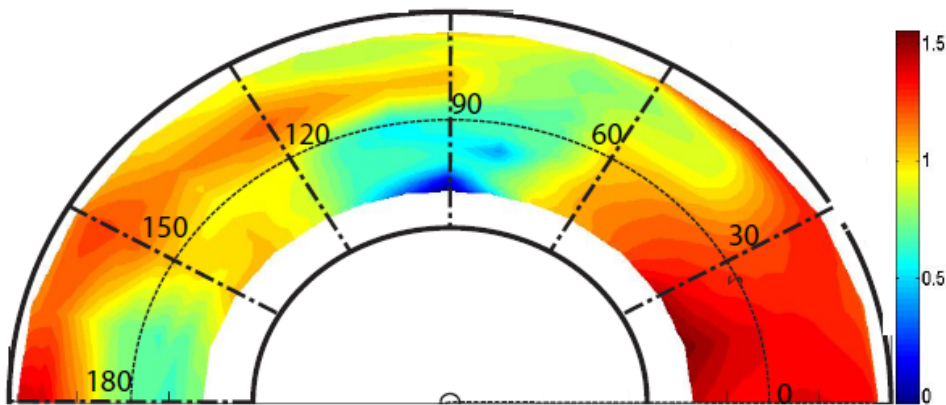
۴- سطح (Surface): برای سطح آب، شرط مرزی symmetry قرار داده شده است. بدین معنی که سرعت عمودی در سطح آب، صفر در نظر گرفته می‌شود. نکته‌ای که در انتخاب این شرط مرزی مورد نظر می‌باشد، این است که در صورتی این شرط قابل



شکل ۲ تغییرات سرعت طولی متوسط‌گیری شده در عمق (Us/U) - براساس مدل آزمایشگاهی



شکل ۳ تغییرات سرعت عرضی متوسط‌گیری شده در عمق (Un/U) - براساس مدل آزمایشگاهی



شکل ۴ سرعت طولی متوسط‌گیری شده در عمق (Us/U) - پیش‌بینی شده با مدل RSM

از نرم‌افزار فلوئنت به‌دست نمی‌آیند. برای تعیین این الگوها در ابتدا پروفیل‌های سرعت طولی در

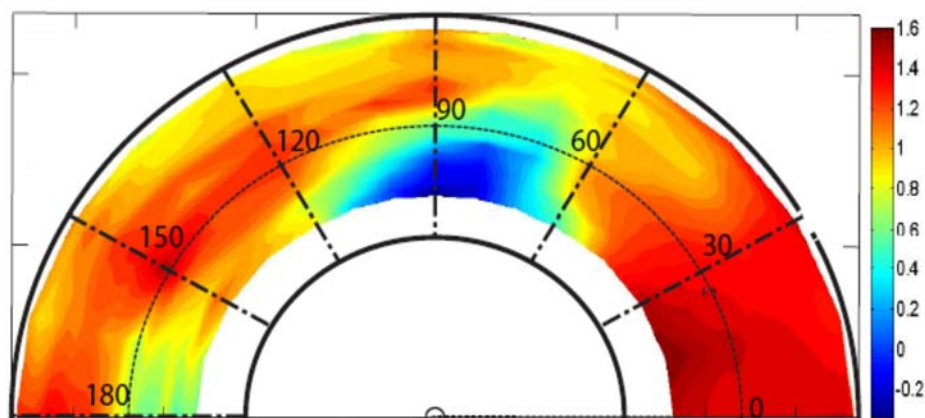
بررسی و مقایسه‌ی الگوهای متوسط‌گیری شده  
الگوهای متوسط‌گیری شده در عمق به صورت مستقیم

قوس ۸۰ درجه نیز حرکت کرده‌است اما هنوز با منطقه‌ی جداشدگی اندازه‌گیری شده کاملاً متفاوت است. هم‌چنین منطقه‌ی جداشدگی اندازه‌گیری شده تا خط مرکزی کانال پیشروی کرده‌است اما مقدار پیش‌بینی شده در مدل تنها ناحیه‌ی کوچکی را در بر می‌گیرد. از مقطع عرضی ۹۰ تا ۱۲۰ درجه از خط مرکزی تا ساحل خارجی، پیش‌بینی و اندازه‌گیری یکسان می‌باشند اما از خط مرکزی به سمت ساحل داخلی مقدار پیش‌بینی شده همان ناحیه‌ی جداشدگی را نشان می‌دهد که متفاوت با اندازه‌گیری می‌باشد. از مقطع عرضی ۱۲۰ درجه تا مقطع عرضی ۱۸۰ درجه، مقدار بیشینه سرعت پیش‌بینی شده به سمت ساحل خارجی می‌باشد و تا خروجی پیچ در ساحل خارجی جای گرفته‌است اما مقدار اندازه‌گیری شده‌ی آن تا حدودی متفاوت است و از مقطع عرضی ۱۵۰ درجه در ساحل خارجی جای می‌گیرد.

شکل (۵)، سرعت طولی متوسط‌گیری شده در عمق را که با مدل LES پیش‌بینی شده‌است نشان می‌دهد. در این شکل نیز در مقطع ۰ تا ۳۰ درجه، هسته بیشینه سرعت در سمت ساحل داخلی قرار دارد اما تا حدودی به سمت مرکز نیز متمایل شده‌است.

موقعیت‌هایی از کانال که در آزمایشگاه نیز اندازه‌گیری شده بود به‌دست آمد. این موقعیت‌ها عبارتند از ۱۵ مقطع که در هر مقطع عرضی ۳۰ پروفیل سرعت استفاده شده‌است. در مرحله‌ی بعد، از نقاط موجود در هر پروفیل سرعت میانگین‌گیری وزنی شد تا مقدار متوسط‌گیری شده‌ی آن در عمق به‌دست آید. سپس این مقادیر وارد برنامه‌ی متلب (Matlab) شد و الگوهای متوسط‌گیری شده در عمق رسم شدند. شکل (۴) سرعت طولی متوسط‌گیری شده در عمق را که توسط مدل هفت معادله‌ای تنش رینولدز پیش‌بینی شده‌است نشان می‌دهد.

با توجه به شکل (۴) هم‌چنان ناحیه‌ی بیشینه سرعت در مقطع بین ۰ تا ۳۰ درجه متمایل به سمت داخلی قوس پیش‌بینی شده‌است. اما همان‌طور که قبلاً بیان شد، ناحیه‌ی بیشینه سرعت اندازه‌گیری شده در مرکز قرار دارد. بین مقاطع عرضی ۳۰ و ۶۰ درجه سرعت بیشینه به سمت ساحل داخلی متمایل است در حالی که مقدار اندازه‌گیری شده به سمت ساحل خارجی است و متفاوت با پیش‌بینی می‌باشد. ناحیه‌ی جداشدگی هم‌چنان در مقطع عرضی ۹۰ درجه پیش‌بینی شده‌است که تا حدودی به سمت زاویه‌ی



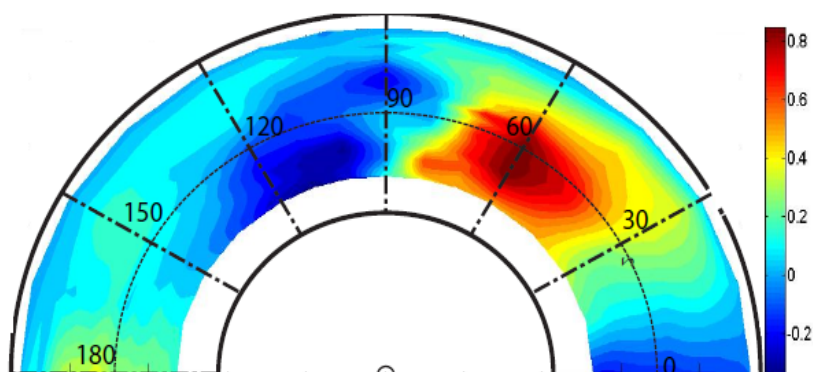
شکل ۵ سرعت طولی متوسط‌گیری شده در عمق  $(U_s/U)$  - پیش‌بینی شده با مدل LES

به دلیل عمق کم در آزمایشگاه اندازه گیری نشده است. شکل (۶) نیز سرعت عرضی متوسط گیری شده در عمق را که توسط مدل تنش رینولدز پیش بینی شده است نشان می دهد.

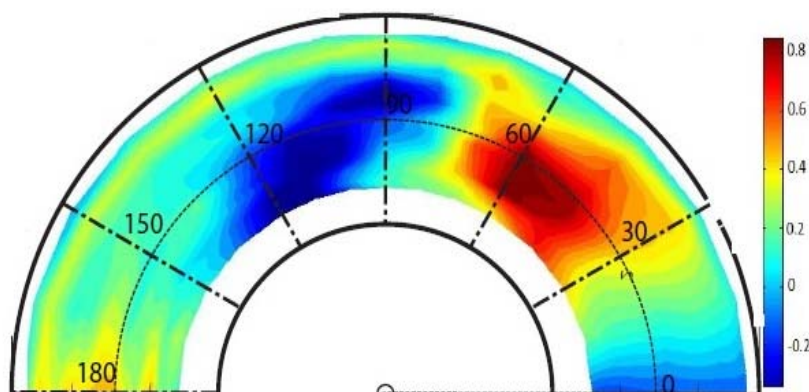
مقدار بیشینه ی سرعت عرضی متوسط گیری شده در عمق در مقطع ۶۰ درجه اتفاق افتاده است که مقدار پیش بینی شده کمی بیشتر از مقدار اندازه گیری شده می باشد ولی هر دو مقدار در یک موقعیت اتفاق افتاده اند. از مقطع ورودی تا حدود مقطع عرضی ۷۵ درجه، مقادیر اندازه گیری شده نشان دهنده ی سرعت عرضی متوسط گیری شده ی مثبت و به سمت ساحل خارجی می باشد و پس از آن تا مقطع عرضی ۱۳۵ درجه، مقدار آن منفی و به سمت ساحل خارجی می باشد و پس از آن دوباره به سمت ساحل خارجی تغییر جهت می دهد. در مقادیر پیش بینی شده توسط مدل، سرعت عرضی متوسط گیری شده در عمق از ورودی تا حدود مقطع عرضی ۸۰ درجه به سمت ساحل خارجی می باشد و سپس مقدار آن منفی شده و تا حدود مقطع عرضی ۱۴۰ درجه به سمت ساحل داخلی می باشد. پس از آن دوباره به سمت ساحل خارجی برمی گردد و مقدار آن مثبت می شود. مقایسه ی سرعت عرضی متوسط گیری شده در عمق بین مدل مذکور و مقدار اندازه گیری شده نشان دهنده ی اختلاف تقریباً ۵ درجه ای می باشد. در مقاطع عرضی ۹۰ تا ۱۲۰ درجه، هسته بیشینه سرعت عرضی در الگوی مشاهده ای نزدیک به ساحل خارجی است در حالی که در مدل محاسباتی نزدیک به ساحل داخلی می باشد. لذا این مقادیر صحیح پیش بینی نشده اند. مدل مذکور الگوی جریان را به صورت کلی صحیح پیش بینی کرده است اما در پیش بینی مقادیر بیشینه و موقعیت آن دارای عدم تطابق هایی با مقادیر اندازه گیری شده می باشد.

بین مقاطع عرضی ۳۰ تا ۶۰ درجه، پیش بینی جریان توسط مدل LES نشان می دهد که هسته ی مرکزی بیشینه سرعت به سمت ساحل خارجی حرکت کرده است که با مقادیر اندازه گیری شده تطابق مناسبی را نشان می دهد. بیشینه ی منطقه ی جدا شدگی جریان که توسط مدل پیش بینی شده است تقریباً در مقطع ۷۵ درجه قرار دارد که نزدیک به مقدار پیش بینی شده است. این در حالی است که بیشینه ی منطقه ی جدا شدگی در مدل RSM که بر اساس ایده ی بوزینسک ارائه شده است در مقطع عرضی ۸۵ درجه قرار گرفته است و با مقادیر اندازه گیری شده تطابق ندارند. اما منطقه ی جدا شدگی در مدل LES، متمایل به سمت مقطع عرضی ۷۵ درجه شده است و تقریباً با مقادیر اندازه گیری شده تطابق پیدا کرده است. از مقطع ۱۵۰ درجه به سمت خروجی، پیش بینی مدل نشان دهنده ی قرارگیری هسته ی بیشینه در ساحل خارجی می باشد که این بخش نیز با اندازه گیری ها تطابق مناسبی را نشان می دهد. از مقطع ۹۰ تا ۱۲۰ درجه، مقادیر پیش بینی شده و اندازه گیری شده تقریباً یکسان می باشند و هسته ی بیشینه سرعت در هر دو الگوی جریان بین خط مرکزی و ساحل خارجی قرار دارد. در بین مقاطع ۱۲۰ تا ۱۵۰ درجه نیز الگوی پیش بینی شده و اندازه گیری شده تطابق مناسبی را نشان می دهند. هسته ی بیشینه ی جریان هنوز در نزدیکی خط مرکزی و متمایل به ساحل خارجی است که با نزدیک شدن به مقطع ۱۵۰ درجه تا حدودی به ساحل خارجی نزدیک تر می گردد.

مقایسه ی سرعت طولی متوسط گیری شده در عمق که به وسیله ی این دو مدل پیش بینی شده است نشان می دهد که در ناحیه ی جدا شدگی جریان، مدل RSM جریان برگشتی آب را پیش بینی نکرده است و حداقل سرعت را صفر نشان داده اما مدل LES سرعت ۰/۲- را نشان می دهد که نشان دهنده ی برگشت آب و وجود گردابه در این منطقه می باشد. البته ناحیه ی مذکور



شکل ۶ سرعت عرضی متوسط‌گیری شده در عمق  $(U_n/U)$  - پیش‌بینی شده با مدل RSM



شکل ۷ سرعت عرضی متوسط‌گیری شده در عمق  $(U_n/U)$  - پیش‌بینی شده با مدل LES

به سمت ساحل خارجی می‌باشد و این روند تا حدود مقطع ۱۳۵ درجه ادامه دارد. پس از آن الگوی جریان منفی شده و به سمت ساحل داخلی قرار گرفته است. این پیش‌بینی روند بهتری را نسبت به مدل پیشین نشان می‌دهد. در مدل قبل اختلاف تقریباً ۵ درجه‌ای بین الگوی اندازه‌گیری شده و پیش‌بینی شده وجود داشت که این اختلاف در مدل LES از بین رفته است.

#### مقایسه‌ی پروفیل‌های سرعت طولی اندازه‌گیری شده

##### و پیش‌بینی شده

جدول (۲) مقدار متوسط خطا را در مقاطع عرضی انتخاب شده مشخص کرده است. در این جدول ابتدا

شکل (۷) سرعت عرضی متوسط‌گیری شده در عمق را که با مدل LES پیش‌بینی شده است نشان می‌دهد. این مدل همانند مدل پیشین دارای پیش‌بینی تقریباً مشابهی برای الگوی سرعت عرضی متوسط‌گیری شده در عمق می‌باشد. در بین فاصله‌ی مقاطع ۹۰ تا ۱۲۰ درجه، دو سرعت عرضی بیشینه را پیش‌بینی کرده است که دارای موقعیت یکسان با مقادیر اندازه‌گیری شده می‌باشند اما مقدار بیشینه‌ی نزدیک به ساحل داخلی بیشتر از مقدار اندازه‌گیری شده پیش‌بینی شده است.

الگوی پیش‌بینی شده‌ی سرعت عرضی از مقطع ورودی تا حدود مقطع عرضی ۷۵ درجه مثبت و



دربرداشته است. مدل RSM نیز دارای ۱۰/۴ درصد خطا می باشد. در هفت مقطع عرضی انتخاب شده، تنها در زاویه‌ی مرکزی ۹۰ درجه مدل LES خطای بیشتری را داراست؛ البته باید به این نکته توجه داشت، تنها خطای پیش‌بینی ۲۶ موقعیت مکانی در کانال بررسی شده است و اگر در زاویه‌ی مرکزی ۹۰ درجه موقعیت‌های دیگری انتخاب می‌شدند امکان تغییر نتایج وجود داشت و احتمالاً با افزایش تعداد پروفیل‌های سرعت طولی در این مقطع، مدل LES جواب بهتری می‌داد.

### نتیجه‌گیری

برای بررسی مدل‌های عددی آشفتگی جریان و مقایسه‌ی نتایج آنها با داده‌های واقعی، از داده‌های یک آبراهه با پیچ تند و توپوگرافی توسعه‌یافته استفاده گردید. مطالعات آزمایشگاهی بر روی فلومی با شعاع انحنای ۱/۷ متر و با زاویه‌ی مرکزی ۱۹۳ درجه انجام شده است. جریان ۶۳ لیتر بر ثانیه بر روی ر سوبات با قطر ۲ میلی‌متر اجرا شد که پس از این که توپوگرافی کاملاً توسعه یافت، برای انجام اندازه‌گیری‌ها ر سوبات منجمد شد. برای تعیین الگوی جریان به‌وسیله‌ی مدل‌های آشفتگی از نرم‌افزار فلوئنت و گمبیت استفاده گردید و مدل‌های آشفتگی RSM و LES مورد بررسی قرار گرفتند. بررسی‌ها نشان داد که هر دو مدل تا حدودی الگوی کلی جریان را پیش‌بینی کرده‌اند اما بخش‌های مهم جریان به‌وسیله‌ی مدل RSM به‌خوبی پیش‌بینی نشده بود. مدل RSM نتوانسته بود منطقه‌ی جداشدگی جریان را به‌صورت مناسبی پیش‌بینی کند و به‌جای موقعیت زاویه‌ی ۷۵ درجه، زاویه‌ی ۸۵ درجه را به‌عنوان منطقه‌ی جداشدگی پیش‌بینی کرده‌است. اما مدل LES موقعیت این ناحیه را به‌صورت مناسبی پیش‌بینی کرد. هم‌چنین در پیش‌بینی موقعیت هسته پیشینه‌ی سرعت طولی، مناسب‌ترین پیش‌بینی برای مدل LES بوده است. در سرعت عرضی متوسط‌گیری

مقدار خطای چهار پروفیل سرعت طولی انتخاب‌شده از هر مقطع عرضی، تعیین گردیده و سپس متوسط خطای آن‌ها مشخص شده‌است. به‌طور مثال، خطای مدل LES در مقطع عرضی صفر درجه و موقعیت  $n1.35$ ، ۲/۱ درصد می‌باشد. هم‌چنین متوسط خطای سرعت طولی در مقطع ورودی برای پیش‌بینی مدل LES، ۴/۵ درصد است که کمتر از خطای مدل RSM می‌باشد.  $n$  نشان‌دهنده‌ی جهت شعاعی می‌باشد. به‌طور مثال  $n1.35$  به معنای فاصله‌ی ۱/۳۵ متری از مرکز پیچ می‌باشد و با توجه به این که دیواره‌ی داخلی با مرکز پیچ ۱/۰۵ متر فاصله دارد،  $n1.35$  نشان‌دهنده‌ی موقعیت ۰/۳ متری از دیوار داخلی می‌باشد. هم‌چنین  $n1.7$  نشان‌دهنده‌ی فاصله ۱/۷ متری از مرکز پیچ می‌باشد و موقعیت آن خط مرکزی کانال است.  $n2.05$  موقعیت ۰/۳ متری از دیواره‌ی خارجی و  $n2.2$  موقعیت ۰/۱۵ متری از دیواره‌ی خارجی را نشان می‌دهد.

جدول ۲ درصد اختلاف بین مقادیر پیش‌بینی شده و اندازه‌گیری شده پروفیل سرعت طولی

زاویه مرکزی (درجه)	مدل	n1.35	n1.7	n2.05	n2.2	میانگین
۰	LES	۲/۱	۸/۲	۷/۳	۰/۴	۴/۵
	RSM	۰/۴	۱۱/۲	۱۱/۴	۶/۲	۷/۳
۳۰	LES	۱۲/۶	۵/۶	۵/۱	۴/۱	۶/۹
	RSM	۱۲/۲	۱۲	۹/۸	۵/۸	۱۰
۶۰	LES	----	۱۳	۰/۴	۹/۶	۷/۷
	RSM	----	۱۳	۱۱	۱۷	۱۳/۷
۹۰	LES	----	۹/۷	۸/۷	۱۹	۱۲/۵
	RSM	----	۱۰	۲/۹	۹/۶	۷/۵
۱۲۰	LES	۸/۴	۱۹	۱/۷	۱/۸	۷/۷
	RSM	۲۰	۶	۱۰	۴/۷	۱۰/۲
۱۵۰	LES	۱۲	۸	۱۳	۴/۸	۹/۵
	RSM	۱۶	۱۹	۱۲	۸/۲	۱۳/۸
۱۸۰	LES	۴/۴	۱۱/۵	۵	۶/۵	۶/۹
	RSM	۲۵	۷/۵	۵/۷	۳/۷	۱۰/۵

بر طبق جدول (۲) مدل LES با ۷/۹ درصد خطای میانگین کل مقاطع عرضی مقایسه شده، بهترین نتایج را

### تشکر و قدردانی

این پژوهش از محل طرح پژوهشی داخلی دانشگاه اراک با موضوع «بررسی مدل‌های آشفتگی در پیچ رودخانه با کمک نرم افزار FLUENT» تامین اعتبار شده است. نویسندگان بر خود لازم می‌دانند که از معاونت پژوهشی و فناوری دانشگاه اراک قدردانی نمایند.

شده در عمق نیز، مدل LES تغییر جهت جریان عرضی و موقعیت آن را بهتر پیش‌بینی کرده است. نهایتاً خطای میانگین میزان اختلاف بین پروفیل‌های پیش‌بینی شده و اندازه‌گیری شده برای مدل LES کمتر از ۸ درصد به‌دست آمد و این مدل دارای کمترین میزان خطا در پیش‌بینی بوده است.

### مراجع

- Shettar, A.S., and Murthy, K.K., "A numerical study of division of flow in open channels", *Journal of Hydraulic Research*, Delft, The Netherlands, Vol. 34, No. 5, pp. 651-675, (1996).
- صفرزاده گند شمین، ا.، و صالحی نیشابوری، ع.ا.، "مطالعه‌ی عددی الگوی جریان آشفته و بررسی کیفی انتقال رسوب و فرسایش در آبگیری جانبی از رودخانه"، مجله‌ی فنی و مهندسی مدرس، شماره‌ی ۲۵، صص. ۱۸-۱، (۱۳۸۵).
- امید بیگی، م.ع.، "مطالعه‌ی آزمایشگاهی و شبیه‌سازی عددی سه‌بعدی الگوی جریان در آبگیری جانبی از رودخانه در حضور صفحات مستغرق"، پایان‌نامه‌ی کارشناسی ارشد، دانشکده‌ی کشاورزی، دانشگاه تربیت مدرس، (۱۳۸۸).
- شاملو، ح.، و پیرزاده، ب.، "بررسی اثرات پارامترهای هندسی و هیدرولیکی بر ابعاد ناحیه‌ی جدایی جریان در آبگیرهای جانبی به‌کمک نرم‌افزار فلونت"، نشریه‌ی مهندسی عمران و نقشه‌برداری، صص. ۴۸۷-۴۹۵، (۱۳۸۹).
- Han, S.S., "Characteristics of flow around 90 open channel bends", PhD. Thesis. Dept. of Building, Civil and Environmental Engineering, Concordia University, Montreal, Quebec, (2010).
- van Balen, W., Uijttewaal, W.S.J., and Blanckaert, K., "Large eddy simulation of a mildly curved open-channel flow", *J. Fluid Mech.*, Vol. 630, pp. 413-442, (2009).
- Booij, R., "Measurements and large eddy simulations of the flows in some curved flumes", *J. Turbulence*, Vol. 4, No. 1, pp. 8-16, (2003).
- Dargahi, B., "Three-dimensional flow modelling and sediment transport in the river Klarälven", *Earth Surface Processes and Landforms*, Vol. 29, No. 7, pp. 821- 852, (2004).
- Kang, H., and Choi, S., "Reynolds stress modelling of rectangular open-channel flow", *Intl. J. Num. Meth. Fluids*, Vol. 51, No. 11, pp. 1319-1334, (2006).
- Khosronejad, A., Rennie, C.D., Neyshabouri, S.A.A.S., and Townsend, R.D., "3D numerical modeling of flow and sediment transport in laboratory channel bends", *J. Hydraulic Eng.*, Vol. 133, No. 10, pp. 1123-1134, (2007).
- Fluent Inc., "FLUENT 6.3 User's Guide", Lebanon, New Hampshire, United States of America, (2006).
- Van Rijn, L.C., "Sediment transport, part 1: bed load transport", *J. Hydr. Eng.*, Vol. 110, No. 10, pp. 1431-1456, (1984).
- Montazeri, M., and Hashemi, R., "3D numerical simulation of supercritical flow in bends of channel", *International conference on mechanical Engineering*, Dubai, (2012).